

# ЧИСЛЕННАЯ МОДЕЛЬ ФИЛЬТРАЦИИ БУРОВОГО РАСТВОРА С ВЫТЕСНЕНИЕМ ПОРОВОЙ ЖИДКОСТИ В ЗАДАЧЕ ОПРЕДЕЛЕНИЯ ПАРАМЕТРОВ СРЕДЫ

А.С. АСТРАКОВА, В.Н. ЛАПИН, С.Г. ЧЕРНЫЙ

*Институт вычислительных технологий СО РАН, Новосибирск, Россия*

e-mail: [anna.astrakova@gmail.com](mailto:anna.astrakova@gmail.com)

Строится модель фильтрации бурового раствора в трещиновато-пористую среду с вытеснением поровой жидкости. Для её решения предлагается оригинальный численный алгоритм, основанный на неявной конечно-разностной схеме. Обратная задача нахождения параметров трещиновато-пористой среды формулируется в виде оптимизационной задачи. Предлагаются два метода её решения: золотого сечения и, базирующийся на генетическом алгоритме. Представлены результаты решения обратной задачи для различных групп варьируемых параметров.

*Ключевые слова:* фильтрация, вытеснение нефти буровым раствором, трещиновато-пористая среда, генетический алгоритм.

## Введение

Процесс бурения скважины в породе сопровождается фильтрационными потерями бурового раствора. Для их устранения применяется технология закупоривания систем трещин в породе возле скважины. Целью настоящей работы является разработка методики определения параметров породы, имеющей структуру специального вида - трещиновато-пористую. К ним относятся известняки, песчаники, алевролиты, доломиты.

В основу предлагаемой методики положена модель плоскорадиальной фильтрации бурового раствора в трещиновато-пористую среду с вытеснением поровой жидкости. При этом буровой раствор представляется вязкопластической жидкостью, а поровая жидкость - ньютоновской. Уравнения пьезопроводности и Дарси, образующие модели фильтрации обеих жидкостей, имеют одинаковую структуру и отличаются только значениями входящих в них коэффициентов проницаемости, пористости, сжимаемости. Поэтому процесс вытеснения буровым раствором поровой жидкости моделируется сквозным решением уравнений во всей области от скважины до удаленной на достаточное расстояние в область поровой жидкости границы с переключением значений коэффициентов уравнений на границе раздела жидкостей. Краевыми условиями для уравнений пьезопроводности являются давления в скважине и на удалении от нее в поровой жидкости. Движение границы раздела жидкостей описывается отдельным уравнением. Ввиду разрывности коэффициентов в работе строится оригинальная неявная консервативная конечно-разностная схема на основе дивергентной формы записи уравнения пьезопроводности. Решением этой прямой задачи являются скорости фильтрации бурового раствора по трещиноватым и пористым блокам, по которым находится расход потерь бурового раствора.

Из проводимых при бурении замеров известны временные зависимости давления в скважине и расхода потерь бурового раствора. Это позволяет поставить обратную задачу

определения параметров трещиновато-пористой среды, сформулировав её в виде оптимизационной задачи. В ней на наборе параметров трещиновато-пористой среды минимизируется функционал отклонения между замеренной и рассчитанной по модели фильтрации бурового раствора зависимостями потерь бурового раствора. Замеренная временная зависимость давления в скважине используется в качестве краевых условий для уравнений пьезопроводности модели фильтрации. Другими словами, суть методики заключается в подборе параметров трещиновато-пористой среды, которые обеспечат при решении прямой задачи фильтрации максимальное совпадение рассчитанной и замеренной временных зависимостей потерь бурового раствора. Подобранные параметры и являются решением обратной задачи фильтрации.

## 1. Модель радиальной фильтрации бурового раствора в трещиновато-пористую среду с вытеснением поровой жидкости

### 1.1. Общие допущения

Фильтрация жидкости в трещиновато-пористой среде описывается в рамках модели плоскорадиальной фильтрации [1]. Жидкость фильтруется в радиальном направлении от скважины. Все параметры процесса зависят только от одной координаты - расстояния до скважины. Предполагается, что проницаемости пористой среды и системы трещин по отдельности постоянны и равны  $k_{\text{п}}$  и  $k_{\text{т}}$  соответственно. Порода считается слабосжимаемой, т.е. пористости породы  $m_{\text{п}}$  и системы трещин  $m_{\text{т}}$  линейно зависят от давления насыщающей жидкости  $p$ . Буровой раствор полагается вязкопластической жидкостью, в которой касательное напряжение  $\tau$  представляется в виде

$$\tau = \tau_0 + K \left( \frac{dw}{dy} \right)^n. \quad (1)$$

где  $\tau_0$  – предел пластической деформации жидкости;  $\frac{dw}{dy}$  – градиент скорости, перпендикулярный направлению течения;  $K$  – коэффициент динамической вязкости, а  $n$  – степенной показатель в жидкости, подчиняющейся степенному закону. Поровая жидкость полагается ньютоновской жидкостью, в которой выражение для касательного напряжения  $\tau$  является частным случаем с  $\tau_0 = 0$ ,  $n = 1$ . Считается, что раствор вытесняет поровую жидкость, не смешиваясь с ней. Поэтому существует граница раздела жидкостей  $r = R_b(t)$ . Кроме того, буровой раствор считается слабосжимаемым, т.е. его плотность  $\rho_{\text{р}}$  линейно зависит от давления

$$\rho_{\text{р}} = \rho_{0\text{р}}(1 + \beta_{\text{р}}(p - p_{0\text{р}})),$$

где  $\rho_{0\text{р}}$  – плотность раствора при давлении  $p_{0\text{р}}$ ,  $\beta_{\text{р}}$  – коэффициент сжимаемости раствора.

Давление и скорость жидкости в пористой части обозначим через  $p_{\text{п}}$  и  $w_{\text{п}}$ , а в трещиноватой части –  $p_{\text{т}}$  и  $w_{\text{т}}$ . Из-за разницы давлений в трещинах и пористой части возникает переток жидкости из одной среды в другую. Величина перетока определяется коэффициентом перетока  $a_0$ .

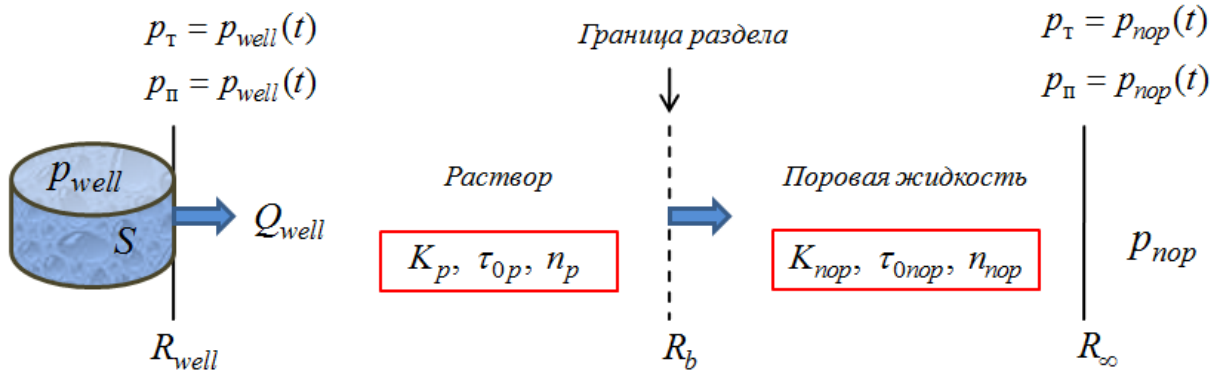


Рис. 1. Схема вытеснения поровой жидкости буровым раствором и краевые условия для уравнений пьезопроводности.

## 1.2. Уравнения пьезопроводности и законы Дарси модели фильтрации вязкопластической жидкости в трещиновато-пористую среду

Распространения давлений в каждой из составляющих среды описываются уравнениями пьезопроводности:

$$\frac{\partial p_{\Pi}}{\partial t} - \frac{1}{\beta_{\Pi}^* r} \frac{\partial}{\partial r} \left( \frac{r k_{\Pi}}{K} \left( \frac{\partial p_{\Pi}}{\partial r} + \tau_{\Pi} \right)^{1/n} \right) + \frac{a_0}{K \beta_{\Pi}^*} (p_{\Pi} - p_{\tau}) = 0, \quad (2)$$

$$\frac{\partial p_{\tau}}{\partial t} - \frac{1}{\beta_{\tau}^* r} \frac{\partial}{\partial r} \left( \frac{r k_{\tau}}{K} \left( \frac{\partial p_{\tau}}{\partial r} + \tau_{\tau} \right)^{1/n} \right) - \frac{a_0}{K \beta_{\tau}^*} (p_{\Pi} - p_{\tau}) = 0, \quad (3)$$

где

$$\beta_{\tau}^* = m_{0\tau} (\beta_{\tau} + \beta_p), \quad \beta_{\Pi}^* = m_{0\Pi} (\beta_{\Pi} + \beta_p), \quad \tau_i = \tau_0 \frac{1-n}{K} \cdot \frac{1}{2} \frac{1}{1+n} \cdot \frac{(4n+2)^{\frac{1}{1+n}} n^{\frac{n}{1+n}}}{n+1} \cdot \left( \frac{m_i}{k_i} \right)^{\frac{n}{1+n}}, \quad i = \Pi, \tau.$$

Законы Дарси для скоростей фильтрации имеют вид

$$w_i = -\frac{k_i}{K} \left[ \frac{\partial p_i}{\partial r} + \tau_i \right]^{1/n} \quad (4)$$

## 1.3. Моделирование вытеснения раствором поровой жидкости

Модель учитывает различия в реологических параметрах бурового раствора и поровой жидкости. Считается, что раствор вытесняет поровую жидкость, не смешиваясь с ней (рис. 1). Поэтому существует граница раздела сред  $r = R_b(t)$ . В области между скважиной и границей находится буровой раствор, за границей – поровая жидкость. Фильтрация обеих жидкостей описывается одними и теми же уравнениями. Учет среды производится путем переключения параметров  $K$ ,  $n$ ,  $\tau_0$  в (2)–(4):

$$K, n, \tau_0 = \begin{cases} K_p, n_p, \tau_{0p}, & R_w \leq r \leq R_b, \\ K_{\text{пор}}, n_{\text{пор}}, \tau_{0\text{пор}}, & R_b < r. \end{cases}$$

Положение границы описывается задачей Коши

$$\frac{dR_b}{dt} = u(R_b, t), \quad u = w_{\tau}/m_{0\tau}, \quad R_b|_{t=0} = R_{\text{well}} \quad (5)$$

Расход потерь бурового раствора из скважины  $Q_{well}$  вычисляется по формуле

$$Q_{well} = (w_{\Pi} + w_{\Gamma})S,$$

где  $S = 2\pi R_{well}$  – площадь кольца единичной высоты на поверхности скважины.

## 2. Схема численного метода решения прямой задачи

### 2.1. Обобщенная запись уравнений пьезопроводности

Каждое из уравнений (2)–(3) может быть записано в следующем общем виде:

$$\frac{\partial p}{\partial t} - D \frac{\partial}{\partial r} \left[ Z \left( \frac{\partial p}{\partial r} + \tau \right)^{1/n} \right] + bp - bp^* = 0, \quad (6)$$

где  $p$ ,  $D$ ,  $Z$ ,  $\tau$ ,  $b$  и  $p^*$  приведены в табл. 1.

**Таблица 1**

Уравнение	$p$	$D$	$Z$	$\tau$	$b$	$p^*$
(2)	$p_{\Pi}$	$\frac{1}{\beta_{\Pi}^* r}$	$\frac{rk_{\Pi}}{K}$	$\tau_{\Pi}$	$\frac{a_0}{K\beta_{\Pi}^*}$	$p_{\Gamma}$
(3)	$p_{\Gamma}$	$\frac{1}{\beta_{\Gamma}^* r}$	$\frac{rk_{\Gamma}}{K}$	$\tau_{\Gamma}$	$\frac{a_0}{K\beta_{\Gamma}^*}$	$p_{\Pi}$

Каждое из уравнений аппроксимируется неявной консервативной конечно-разностной схемой. При  $n \neq 1$  схема нелинейна и необходима её линейризация. Для этого на неявном  $m + 1$  слое вводится итерационный процесс, текущая итерация которого обозначается индексом  $s$ :

$$(p^{m+1})^s = p^s.$$

После ее линейризации схема преобразуется к виду, разрешаемому относительно значений  $\xi_j = p_j^{s+1} - p_j^s$  с помощью метода прогонки.

После нахождения значений  $p_j^{m+1}$  скорость фильтрации рассчитывается из уравнения Дарси по известному распределению давления

$$w_{j+1/2}^{m+1} = -\frac{r_{j+1/2}k}{K_{j+1/2}} \left( \frac{p_{j+1}^{m+1} - p_j^{m+1}}{r_{j+1} - r_j} + \tau_{j+1/2} \right)^{1/n_{j+1/2}}. \quad (7)$$

Задача Коши (5) для границы раздела  $R_b(t)$  решается методом Эйлера 1-го порядка точности.

$$\begin{aligned} R_b^{m+1} &= R_b^m + \Delta t \cdot u(R_b^m, t^m), \quad m = 0, 1, \dots \\ R_b^0 &= R_{well}, \quad t^0 = 0. \end{aligned} \quad (8)$$

Скорость  $u(R_b^m, t^m)$  определяется интерполяцией по двум ближайшим узлам.

### 3. Постановка обратной задачи определения параметров трещиновато-пористой среды и методы её решения

#### 3.1. Оптимизационная постановка обратной задачи

Обратная задача определения параметров трещиновато-пористой среды формулируется в виде следующей оптимизационной задачи

Найти значения параметров  $\mathbf{x}$ , обеспечивающие минимум функционалу

$$F(\mathbf{x}) = \left[ \int_0^T (Q_{well}^{exp}(t) - Q_{well}^{comp}(t, \mathbf{x}))^2 dt \right]^{1/2} : \\ \min_{\mathbf{x} \in X} F(\mathbf{x})$$

при фазовых ограничениях

$$X = \{ \mathbf{x} : x'_i \leq x_i \leq x''_i \}.$$

#### 3.2. Методы решения оптимизационной задачи

В ряде случаев бывает достаточно подобрать только один параметр среды, так как остальные слабо влияют на величину потерь бурового раствора. Как правило, таким параметром является проницаемость трещиноватой среды  $k_T$ . Поэтому в работе в таких случаях использовался метод решения оптимизационной задачи по одному параметру, а именно – метод золотого сечения [2]. Генетический алгоритм применялся для нахождения решения задачи в случае варьирования нескольких параметров [3].

## 4. Результаты решения обратной задачи

#### 4.1. Подбор параметра $k_T$

Рассматривалась вариация параметра проницаемости системы трещин  $k_T$ . На рис.2 приведена история поиска минимума функционала  $F$ , обуславливающего отклонение  $Q_{well}^{comp}(t)$  от расхода  $Q_{well}^{exp}(t)$ . Ломаная линия показывает порядок расчета при поиске оптимального значения  $k_T$ , остановка обусловлена задаваемой относительной точностью, которая составляла  $10^{-3}$ . Минимум достигается при  $k_T = 1.61 \cdot 10^{-12} \text{ м}^2/\text{с}$  и соответствует расходу  $Q_{well}^{comp}(t)$ , приведенному на рис. 3 штриховой линией.

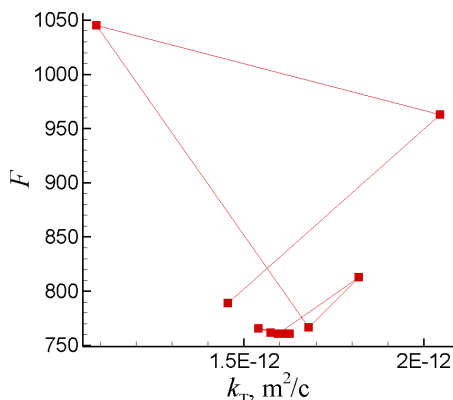


Рис. 2. Процесс подбора методом золотого сечения.

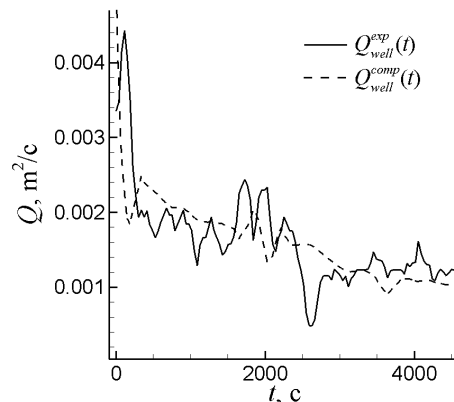


Рис. 3. Сравнение данных измерений  $Q_{well}^{exp}(t)$  и полученных потерь  $Q_{well}^{comp}(t)$  на оптимальном значении  $k_T$ .

## 4.2. Подбор параметра $k_T, m_{0T}, K_{пор}$

Рассматривалась вариация параметров  $k_T, m_{0T}, K_{пор}$ . Вариация осуществлялась в следующем диапазоне:

$$\begin{aligned} 10^{-13} \text{М}^2 &\leq k_T \leq 3 \cdot 10^{-12} \text{М}^2, \\ 0.001 &\leq m_{0T} \leq 0.3, \\ 0 \text{ Па} \cdot \text{с}^n &\leq K_{пор} \leq 0.0383 \text{ Па} \cdot \text{с}^n. \end{aligned}$$

Остальные тринадцать параметров были зафиксированы. Размер поколения  $N_{gen}$  составлял 200 индивидуумов, параметр селекции  $Tr = 0.1$ , параметр рекомбинации  $d = 0.7$ , параметр мутации  $\mu = 0.1$ .

История сходимости функционала приведена на рис. 4. Сравнение экспериментальной зависимости расхода от времени с подобранной в результате оптимизации зависимостью расхода приведено на рис. 5.

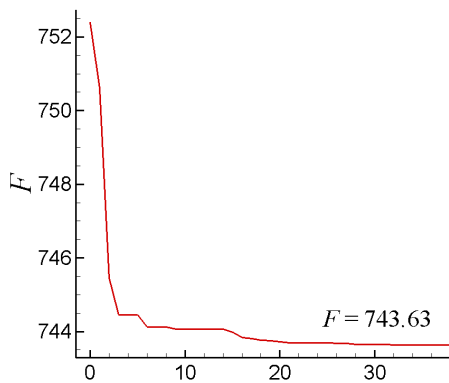


Рис. 4. История сходимости функционала.

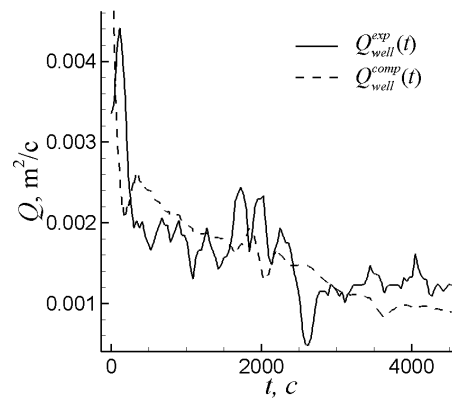


Рис. 5. Сравнение данных измерений  $Q_{well}^{exp}(t)$  и полученных потерь  $Q_{well}^{comp}(t)$  бурового раствора.

## 5. Заключение

Построена модель фильтрации бурового раствора в трещиновато-пористую среду с вытеснением поровой жидкости (прямая задача). Разработан эффективный численный алгоритм решения прямой задачи. Сформулирована обратная задача в виде оптимизационной и предложены надежные методы ее решения. Представлены результаты решения обратной задачи для различных групп варьируемых параметров.

## Список литературы

- [1] БАСНИЕВ К.С., КОЧИНА И.Н. Подземная гидродинамика. М.: Недра, 1983, 415 с.
- [2] КАХАНЕР Д., МОУЛЕР К., НЭШ С. Численные методы и математическое обеспечение. Пер. с англ. - М.: - Мир, 1998. 575 с.
- [3] ЧЕРНЫЙ С.Г., ЧИРКОВ Д.В., ЛАПИН В.Н. и др. Численное моделирование течений в турбомашинах. Новосибирск: Наука, 2006. 202 с.